

3b。立体与构象性质
Steric and conformational properties
(3 学时)

2019/11/13 1

前章回顾
(4. 结构与活性的线性自由能关系)

4.1 取代基的电子效应
诱导效应; 共轭效应;

4.2 Hammett方程: $\lg K_Y/K_H = \rho\sigma$ or $\lg k_Y/k_0 = \rho\sigma$

Hammett方程: 取代基常数 (Substituent constants, σ); 反应常数 ρ

4.3 Hammett方程的偏离与修正
机理改变引起偏离: 反应途径的改变; 决定步骤的改变

增强共轭: $\lg k_Y/k_H = \rho^*\sigma^*$ (or $\rho^*\sigma^-$) Brown-Okamoto方程

变化的共轭作用: $\lg k_Y/k_H = \rho[\sigma + r(\sigma^+ - \sigma)]$

4.4 双参数相关: Taft方程, $\lg k_Y^B/k_H^B - \lg k_Y^A/k_H^A = \rho_1^*\sigma_1 + \rho^*\sigma^*$

Taft-Ingold方程, $\lg k_Y/k_{Me} = \rho^*\sigma^*$

2019/11/13 2

3b.1 The origins of steric strain

三种重要张力:

a. Prelog张力: 分子内大的原子或基团之间的范德华斥力

b. Baeyer张力: 键角的扭曲、偏离正常键角, sp^3 109°28'

2019/11/13 3

c. Pitzer张力: σ -转动偏离最稳定的构象产生的张力

如果在一个反应活化期间, 分子内这种张力增大, 会导致反应速率降低, 这就是立体障碍; 相反, 会因为张力释放而产生立体促进作用。

$t\text{-Bu}-\overset{\text{CH}_2}{\underset{\text{CH}_2}{\text{CH}}}-\text{OTs}$ $\text{CH}_3-\overset{\text{CH}}{\underset{\text{CH}}{\text{CH}}}-\text{OTs}$

溶剂解反应

2019/11/13 4

3b.2 Examples of steric effects upon reactions

1. 邻位效应(Ortho effects)

芳环的邻位取代基对反应的抑制, 依赖于取代基的大小

$\text{RC}_6\text{H}_5 + \text{HNO}_3 \rightarrow (o, p)\text{-RC}_6\text{H}_4\text{NO}_2$

R:	Me	Et	<i>iso</i> Pr	<i>t</i> -Bu
<i>o/p</i> :	1.66	0.90	0.41	0.12

2019/11/13 5

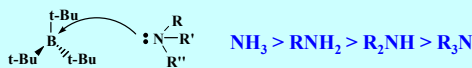
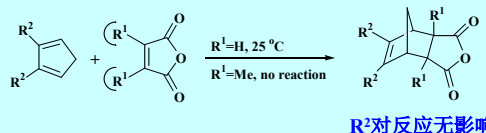
$\text{ArOH} + \text{O} \begin{array}{c} \diagdown \\ \diagup \end{array} \text{ArO-H} \cdots \text{O} \begin{array}{c} \diagup \\ \diagdown \end{array}$

Ar	K	$\Delta G^\circ / \text{J K}^{-1}\text{mol}^{-1}$	$\Delta S^\circ / \text{J K}^{-1}\text{mol}^{-1}$
phenyl	13.6	-16.7	-35
2,6-di- <i>tert</i> -butylphenyl	0.5	-33.4	-108 抑制溶剂化

2. F-张力效应, F-(‘front’) strain

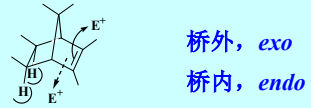
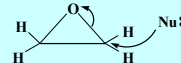
a. 碳上的S_N2反应

2019/11/13 6

b. 硼烷-胺络合物**c. Diels-Alder反应**

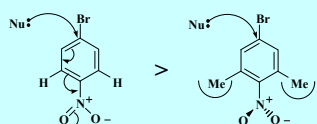
2019/11/13

7

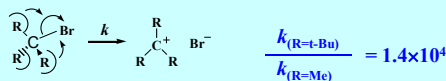
d. 反应位点的立体选择**3. 键角张力(Bond-angle strain)**三、四元环含有键角张力(*I* strain), 难形成、易打开

2019/11/13

8

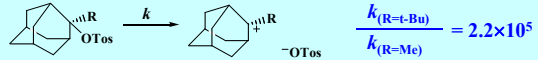
4. 共轭的立体障碍(Steric inhibition of resonance)**5. 立体促进(Steric acceleration)**

张力的释放可以促进反应, 有助于 $\text{C}^+(\text{S}_{\text{N}}\text{I})$ 的形成, 在速率上很难与电子效应区分:



2019/11/13

9

**3b.3 Measurement of steric effects upon rates**

张力可以从实验上由生成焓变差, 或从组成键能计算得到。

动态立体效应是从反应物和过渡态之间的张力能之差, 而后者从实验上不能得到。量化计算(分子力学方法)存在许多不确定的因素: 精确的几何构型、部分键的键能和溶剂化能, 都不知道。

新发展起来的经验方法可从反应速率上去估计立体因素。

2019/11/13

10

Taft-Ingold原理:

$$\log [k_Y/k_{\text{Me}}]_A = E_s$$

$$\log [k_Y/k_{\text{Me}}]_B = 2.48\sigma_Y^* + E_s$$

E_s 含有超共轭效应, 不是真正的立体效应。

一个新的立体常数 E_s , 可对立体性质进行更真实的测量,

$$E_s^C = E_s + 0.306(n - 3)$$

E_s^C —Hancock常数, $n = \alpha\text{-H}$ 的数目。

2019/11/13

11

3b.4 Conformational barriers to bond rotation**构象异构体:**

构象异构体之间转化动态平衡, 相对比例由其热力学性质决定。(低温)光谱探测

构象分析:

通过研究分子构象来分析分子的物理和化学性质

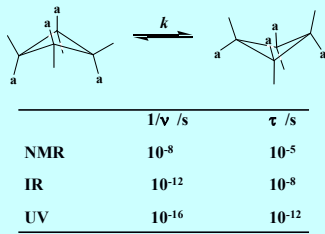
2019/11/13

12

1. 构象异构体的光谱探测

如果满足下列条件，构象异构体间动态平衡可以由它的特征吸收光谱直接观察到：

(a) 异构体的平均寿命必须比它吸收的辐射频率的倒数大 10^3 以上



2019/11/13

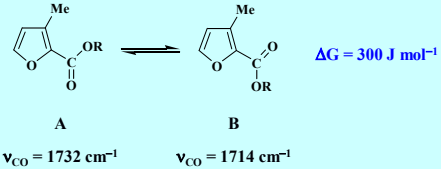
13

(b) 各异构体必须具有不同的吸收特征和达到探测的浓度限量

上述三种光谱学方法(b)通常是限制IR、UV的使用，而(a)常限制NMR的使用，但通过在低温下测试克服

Example:

(i) IR



2019/11/13

14

(ii) NMR (大多数构象分析采用NMR ^{13}C 、 ^1H 谱)



随着温度的降低，有四种峰型：

- a. $T > T_c$ 加宽的单峰
- b. $T = T_c$ 开始能分辨出两重峰
- c. $T < T_c$ 加宽的两重峰
- d. 更低 T_c 两尖峰

改变 T ，可测二构象转化的 k ，进而得到转化的能量

2019/11/13

15

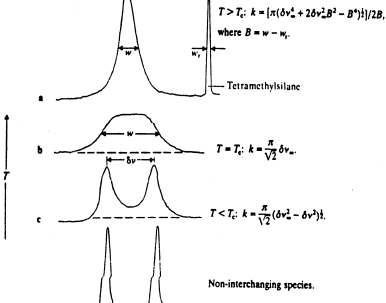
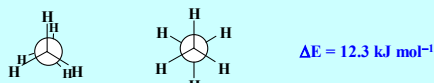


Fig. 8.4 Characteristic NMR signals for a pair of interchanging non-coupled AB nuclei, e.g. methyl resonances of a cyclobutane derivative: a, above the coalescence temperature T_c ; b, at T_c ; c, below T_c ; d, non-interchanging species at very low temperature. Line widths, w , are measured at half height.

16

2. 非环化合物(Acyclic compounds)

(a) 乙烷 (两个sp³杂化原子间的转动)



当被大的基团取代，重叠原子间非键排斥增加旋转势垒增大

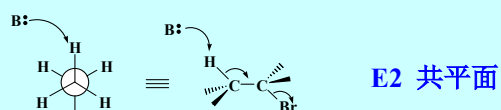


O、N带有未共享电子可看作取代基，与烷基一样分析，将未共享电子看作比H小的取代基

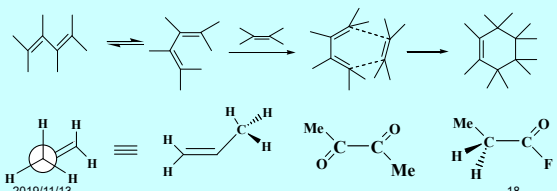
2019/11/13

17

烯烃生成的消除反应是一个以优势构象反应的例子：



(b) 丙烯型 (在sp³和sp²原子间旋转)



3. 环状化合物(Cyclic compounds)

刚性环

张力: ~100 kJ mol⁻¹重叠: 16 kJ mol⁻¹CH₂平均: 38.5 kJ mol⁻¹

稍柔软

总张力能: 110 kJ mol⁻¹CH₂平均: 27.6 kJ mol⁻¹5kJ mol⁻¹

没有键角张力

总张力能: 27 kJ mol⁻¹CH₂平均: 5.4 kJ mol⁻¹

张力来源于重叠相互作用

大的取代基宜取1,3-平伏键

卤化物电离, 张力释放20~100倍于环己烷

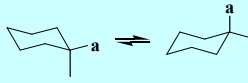


2019/11/13

19

环己烷

在构象研究中非常重要, 它是天然产物中经常遇到的结构单元, 能够以非平面无张力构象存在的最小脂环系统



a	$-\Delta G^\circ / \text{kJ mol}^{-1}$
Me	7.1
Et	7.5
isoPr	8.8
t-Bu	23.8
Ph	12.9

NMR在低温下可区别平伏键和直立键

2019/11/13

20

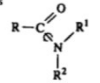
Table 8.8 Conformational energies.	
(b) Free-energy differences (ΔG° values), $-\Delta G^\circ = G(\text{eq}) - G(\text{ax})$, for mono-substituted cyclohexanes*	
X	$-\Delta G^\circ / \text{kJ mol}^{-1}$ (kcal mol ⁻¹)
Me	7.1 (1.69)
Et	7.5 (1.75)
isoPr	8.8 (2.10)
t-Bu	23.8 (5.68)
Ph	12.9 (3.1)
COOR	4.6 (1.0)
CN	0.8 (0.19)
F	1.0 (0.24)
Cl	1.7 (0.41)
Br	2.1 (0.50)
I	1.7 (0.41)
OR	3.3 (0.78)
NH ₂	7.5 (1.79)
HgBr	0 (0)

*A positive value in the table means that the equatorial conformer is more stable than the axial.

(a) Energy barriers to rotation about methyl for conformational energies.	
X	
$\Delta G^\ddagger / \text{kJ mol}^{-1}$ (kcal mol ⁻¹)	
Me	12 (2.87)
EtMe	15 (3.58)
CM ₂	20 (4.78)
CH ₂ Cl	16 (3.82)
CH ₂ Br	15 (3.58)
CH ₂ I	13 (3.11)
CF ₃	14 (3.35)
OH	5 (1.19)
SH	6 (1.43)
OMe	11 (2.62)
NH ₂	8 (1.91)
NHMe	14 (3.34)
Ph	2 (0.48)

21

Table 8.8 (cont.)
(c) Free-energy differences $G(\text{trans}) - G(\text{cis})$, for rotations about CO—N bonds of amides,



Amide	$\Delta G^\ddagger / \text{kJ mol}^{-1}$ (kcal mol ⁻¹)
H H Me	28 (6.7)
H Me Et	2.5 (0.6)
H Me t-Bu	20 (4.8)
Me H Me	39 (9.3)
Me H Et	14 (3.3)
Me Me Et	2.5 (0.6)
Me Et Et	5.5 (1.3)

Energy barriers to rotation for amides

Amide	$\Delta G^\ddagger / \text{kJ mol}^{-1}$ (kcal mol ⁻¹)
HCONH ₂	105 (25)
MeCONH ₂	97 (23)
EtCONH ₂	85 (20)
PhCONH ₂	77 (18)
HCONEt ₂	98 (23)
MeCONisoPr ₂	82 (19)
HCSNMe ₂	127 (30)
PhCSNMe ₂	88 (21)

2019/11/13

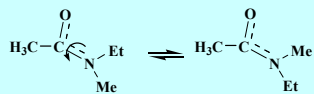
22

3b.5 Rotations about partial double bonds

无催化剂, <500°C, 双键一般不断裂(旋转)

断裂旋转需400 kJ mol⁻¹

有些化合物, 中间态处于单键、双键之间, 用“部分双键”来描述

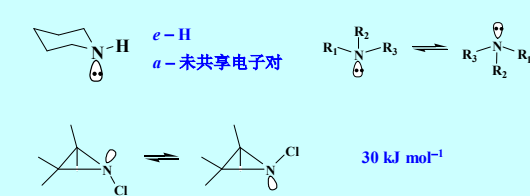


N—C旋转, 能垒在50~100 kJ mol⁻¹, 室温下NMR可以检测到两种异构体的烷基

2019/11/13

23

V字形单元的转化



2019/11/13

24

3b.6 Chemical consequences of conformational isomerism: the Winstein-Holness-Curtin-Hammett principle

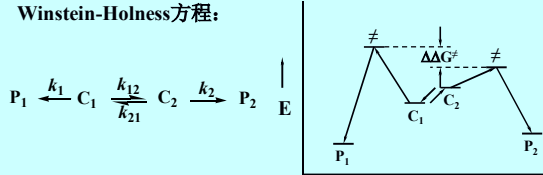
化合物的每一构象异构体是一个化学单元（存在各种构象平衡），可以预计它有各自的特定反应速率，那么这些速率与所观察到的总速率是什么关系呢？由于构象异构体间变换非常快，不可能把每一种异构体分离出来分别研究。因此，可以预测：观察到的速率是这些异构体的速率的加权平均。



2019/11/13

25

Winstein-Holness方程：



假定 k_1 、 k_2 为一级或准一级动力学过程：

$$\frac{\partial [P_1]}{\partial t} + \frac{\partial [P_2]}{\partial t} = k_1 [C_1] + k_2 [C_2]$$

Winstein-Holness 定义产物总速率：

$$\text{Rate} = \frac{\partial [P_1]}{\partial t} + \frac{\partial [P_2]}{\partial t} = k_{\text{obs}} \{ [C_1] + [C_2] \}$$

26

或

$$k_1 [C_1] + k_2 [C_2] = k_{\text{obs}} \{ [C_1] + [C_2] \}$$

那么

$$k_{\text{obs}} = k_1 \frac{[C_1]}{[C_1] + [C_2]} + k_2 \frac{[C_2]}{[C_1] + [C_2]}$$

即

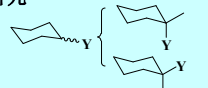
$$k_{\text{obs}} = x_1 k_1 + x_2 k_2 \quad K = \frac{[C_2]}{[C_1]} = \frac{k_1 - k_{\text{obs}}}{k_{\text{obs}} - k_2}$$

要得到 $K(x_2/x_1)$ ，必须知道每一异构体的反应速率，可设计一有固定构象的化合物，并与异构体尽可能接近，得到模型化合物的速率常数近似值 k_1 、 k_2

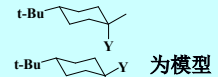
2019/11/13

27

研究



以



局限：模型 ≠ 真实化合物

(i) 对 Y 活性有影响

(ii) 大的 Y 与 t-Bu 竞争平伏键的位置

因此，此法得到的 K 值，须分析其可靠性。

2019/11/13

28

Curtin-Hammett原理：

从产物比着手，得：

$$v_{P_1} = k_1 [C_1] = \frac{\partial [P_1]}{\partial t} \quad v_{P_2} = k_2 [C_2] = \frac{\partial [P_2]}{\partial t}$$

产物比可表示为：

$$\frac{\partial [P_1]/\partial t}{\partial [P_1]/\partial t} = \frac{\partial [P_2]}{\partial [P_1]} = \frac{k_2 [C_2]}{k_1 [C_1]}$$

$$\text{即 } \frac{\partial [P_2]}{\partial t} = \frac{k_2}{k_1} \frac{[C_1]}{[C_2]} \partial [P_1]$$

2019/11/13

29

假定构象达到平衡的速率比反应速率快很多，那么：

$$[C_2]/[C_1] = K(\text{常数})$$

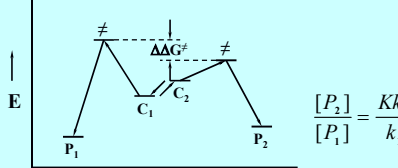
$$\frac{\partial [P_2]}{\partial t} = \frac{K k_2}{k_1} \frac{\partial [P_1]}{\partial t} \quad \text{或} \quad \frac{[P_2]}{[P_1]} = \frac{K k_2}{k_1}$$

Curtin-Hammett原理：产物比依赖于构象异构体平衡常数及其反应速率常数之比。

注意：产物比是一实验值，产物比应是由两过渡态自由能之差控制的，通常并不是反映反应物中异构体分布比，有时产物完全来自少数异构体。 $\Delta\Delta G^\ddagger$

2019/11/13

30

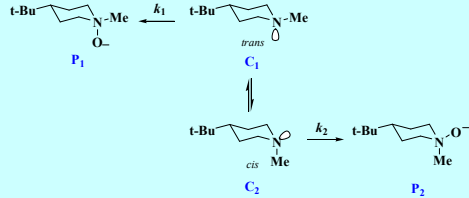


Curtin-Hammett原理：产物比依赖于构象异构体平衡常数及其反应速率常数之比。

注意：产物比是一实验值，产物比应是由两过渡态自由能之差控制的，通常并不是反映反应物中异构体分布比，有时产物完全来自少数异构体。 $\Delta\Delta G^\ddagger$

2019/11/13

31

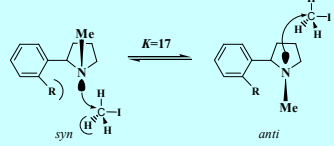


Curtin-Hammett关系应用的主要困难在于获得特定条件下的构象异构体的比例的可靠值(K)，它们都受溶剂和温度的影响。

2019/11/13

32

More reactive



Conformational effects on the methylation of *N*-methyl-2-arylpyrrolidines

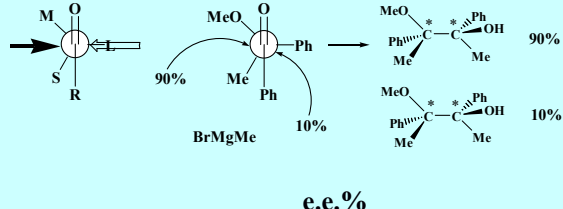
Compd.	$k_{\text{obs}}(\text{rel})$	K	c/d	k_{syn}	k_{anti}	$k_{\text{syn}}/k_{\text{anti}}$
R=H	24	>17	1.7	200	20	10
R=Me	6.1	>30	1.4	98	4.6	21
R=Et	4.9	>30	1.3	81	3.5	23
R=isoPr	4.2	>30	1.3	69	3.0	23
R=t-Bu	1	>40	0.28	40	0.28	143

2019/11/13

33

不对称合成：

羰基(>C=O)是一潜在的手性基团，在连接一手性中心时，将有一种优势构象。羰基的加成反应将形成一个新的手性中心。



2019/11/13

34

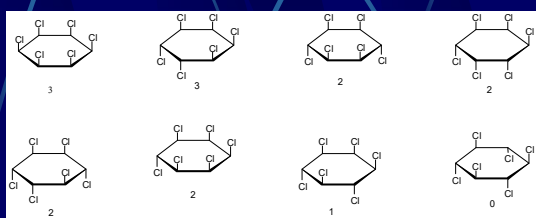
Problems p364, 6

- (a) Of two stereoisomers of 3-bromocyclohexanecarboxylic acid, one eliminates Br readily when dissolved in aqueous ethanol while the other is inert. Identify the isomers.
- (b) There are two stereoisomers of bicyclo[2.2.2]oct-2-ene-5-carboxylic acid, $C_9H_{12}O_2$. They give different products on treatment with bromine in water, thus:
Isomer A: $C_9H_{12}O_2 + Br_2 \rightarrow C_9H_{12}O_2Br_2$;
Isomer B: $C_9H_{12}O_2 + Br_2 \rightarrow C_9H_{12}O_2Br + H^+, Br^-$.
Identify the two isomers.
- (c) There are nine stereoisomers of 1,2,3,4,5,6-hexachlorocyclohexane. Verify this statement and sketch the structures of the compounds. Of these, on treatment with methoxide/methanol, two isomers eliminate 3HCl readily; five eliminate 2HCl and one eliminates 1HCl. The remaining isomer is inert. Identify as far as possible the structures you have drawn with this reactivity pattern.

2019/11/13

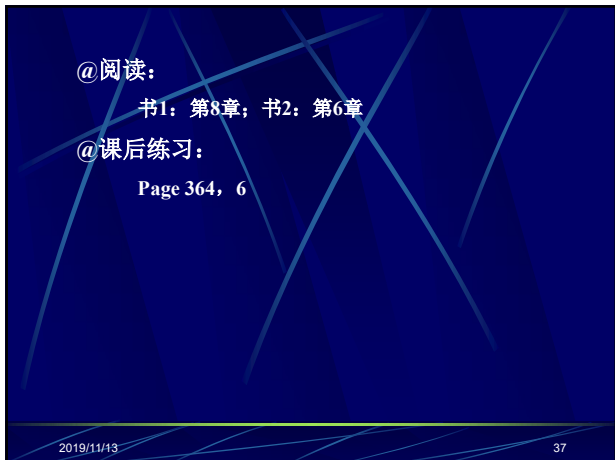
35

c) There are nine stereoisomers of 1,2,3,4,5,6-hexachlorocyclohexane. Verify this statement and sketch the structures of the compounds. Of these, on treatment with methoxide/methanol, two isomers eliminate 3HCl readily; five eliminate 2HCl and one eliminates 1HCl. The remaining isomer is inert. Identify as far as possible the structures you have drawn with this reactivity pattern.



2019/11/13

36



练习题

4-1 对于下列各反应，试推断与反应机理相对应的反应常数 ρ 值。
 ρ 值： $+0.24; +0.56; +1.05; +3.19; -1.31; -4.48$ 。

- $\text{ArC(Me)}_2\text{Cl} + \text{H}_2\text{O} \longrightarrow \text{ArC(Me)}_2\text{OH} + \text{HCl}$
- $\text{ArNH}_2^{\oplus} + \text{H}_2\text{O} \longrightarrow \text{ArNH}_2 + \text{H}_2\text{O}^{\oplus}$
- $\text{ArCH}_2\text{NH}_2^{\oplus} + \text{H}_2\text{O} \longrightarrow \text{ArCH}_2\text{NH}_2 + \text{H}_2\text{O}^{\oplus}$
- $\text{ArCH}_2\text{Cl} + \text{H}_2\text{O} \longrightarrow \text{ArCH}_2\text{OH} + \text{HCl}$
- $\text{ArCH}_2\text{CO}_2\text{H} + \text{H}_2\text{O} \longrightarrow \text{ArCH}_2\text{CO}_2^{\oplus} + \text{H}_2\text{O}^{\oplus}$
- $\text{ArCH}_2\text{CH}_2\text{CO}_2\text{H} + \text{H}_2\text{O} \longrightarrow \text{ArCH}_2\text{CH}_2\text{CO}_2^{\oplus} + \text{H}_2\text{O}^{\oplus}$

4-3 氯化氢与苯基丙二烯在醋酸中发生亲电加成生成肉桂基氯，速率常数与 σ^{α} 关系得到直线的 Hammett 图，反应常数 $\rho = -4.2$ 。

a) 讨论正离子中间体的结构。已知二甲基苄基氯 $\text{ArC(Me)}_2\text{Cl}$ 和甲基苄基氯 ArCH_2MeCl 溶剂解的 ρ 值均大约为 -4 。

b) 比较以下两反应，说明 1,3-二烯反应时 ρ 值较小的原因。（提示：根据丙二烯的构象来考虑，双键的质子化为决速步。）